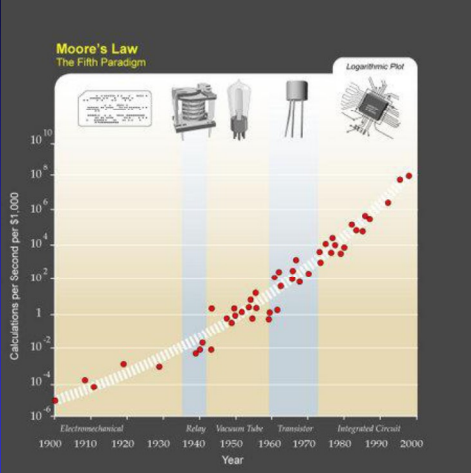


Bioelektronika II

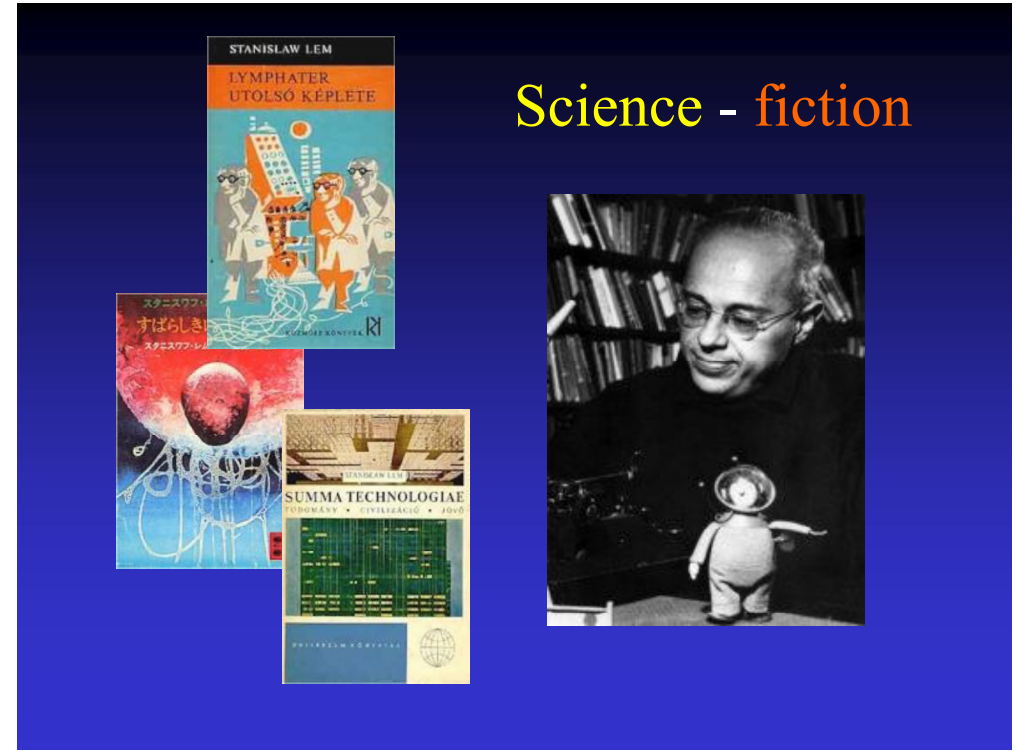
Hogyan segíthet a biológia az információtechnikának?

Dér András
MTA SZBK Biofizikai Intézet

Moore törvénye



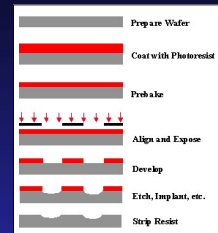
Új alapelvek, anyagok,
eljárások!



Science - fiction

Miniatürizálás

Litográfiai eljárások:
molekuláris méreteknél
nehézségek



Alulról építkezés
(„bottom up”):
**Molekuláris
elektronika**



**Szén nanocsövek jó vezetők.
Hálózat?**

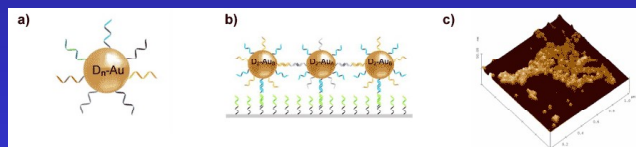
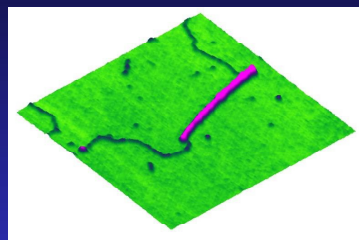


Biológiai anyag

Önszerveződésre képes, speciális funkciókra optimalizált

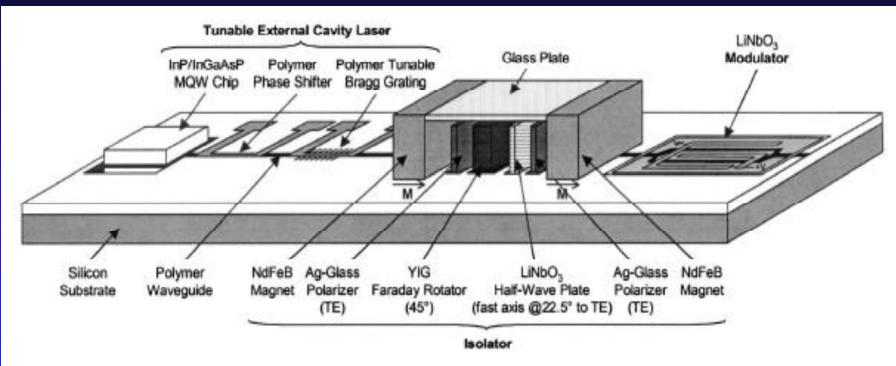
Bioelektronika:

Biológiai makromolekulák
(fehérjék,
nukleinsavak)



Lem jóslata valóra válik?

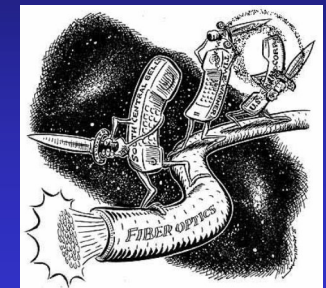
Integrált optika



“Szűk keresztmetszet”: megfelelő nemlineáris optikai (NLO) kapcsolóanyagok - külső hatásra (elektromos, mágneses tér, fény) törésmutatóváltozás

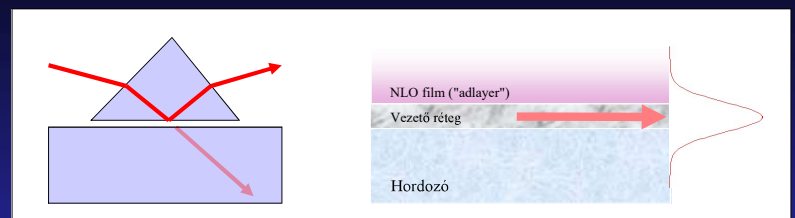
Kommunikáció fénnyel

Optikai fényvezető kábel

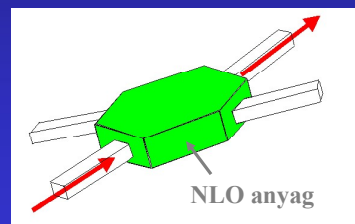


Lehetne ezt kicsiben is?

Az „evaneszcens” fény



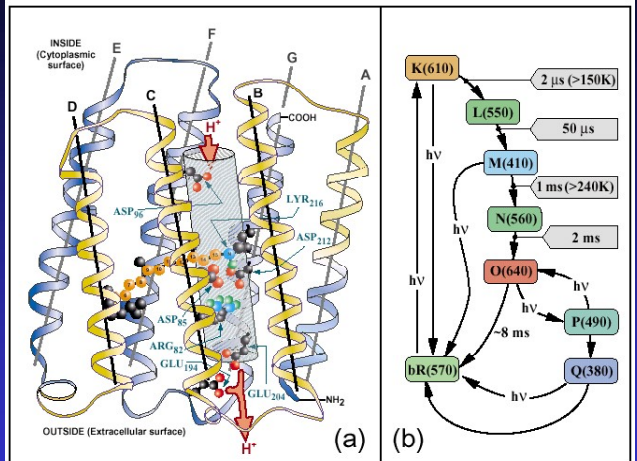
Integrált optikai kapcsoló



Jó lenne kizárolag fényvezérelt áramköröket készíteni.

Követelmények: fény hatására törésmutatóváltozás, gyors kinetika, stabilitás

A bR modellszerepet tölt be az ionpumpáló membránfehérjék között

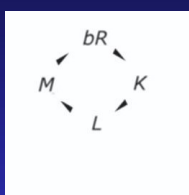


Közel vagyunk az atomi szintű leíráshoz

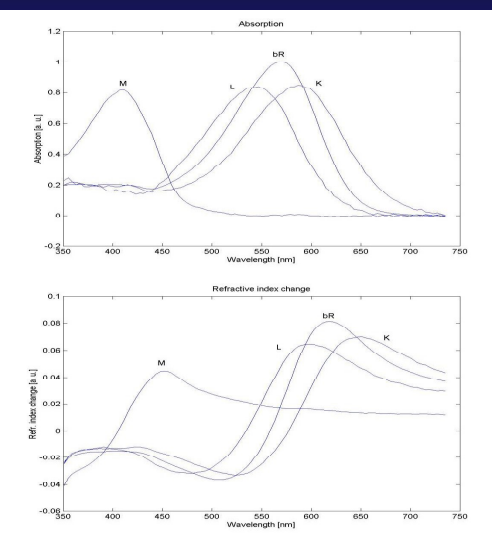
Génsebészettel, kémiai, fizikai módosítással tetszszerint alakíthatjuk

Integrált optikai alkalmazás

Nemlineáris optikai tulajdonság: a törésmutató megvillágítás hatására változzon

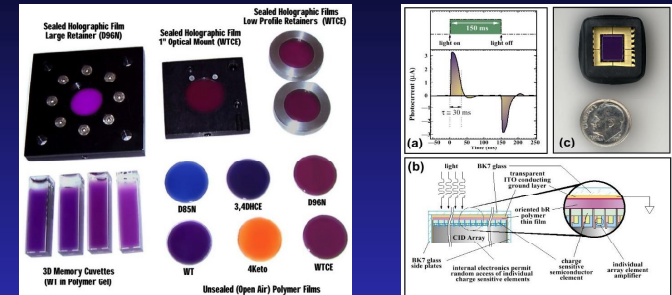


Kramers-Kronig relációk

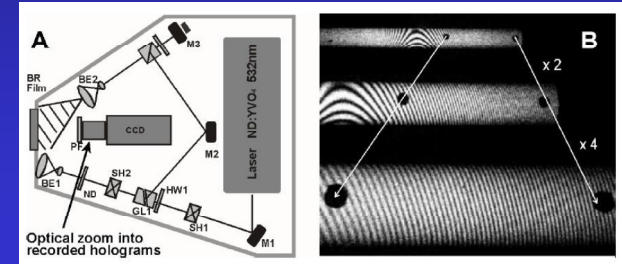


Bioelektronikai alkalmazások (bR-alapú filmek)

Keck Center for Molecular Electronics at Syracuse University



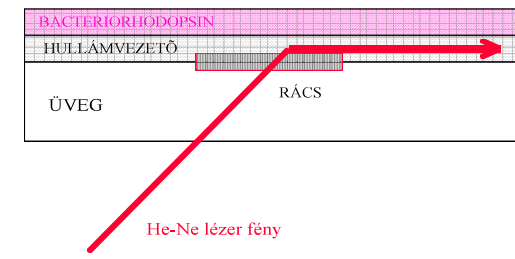
Institute of Physical Chemistry
University of Marburg



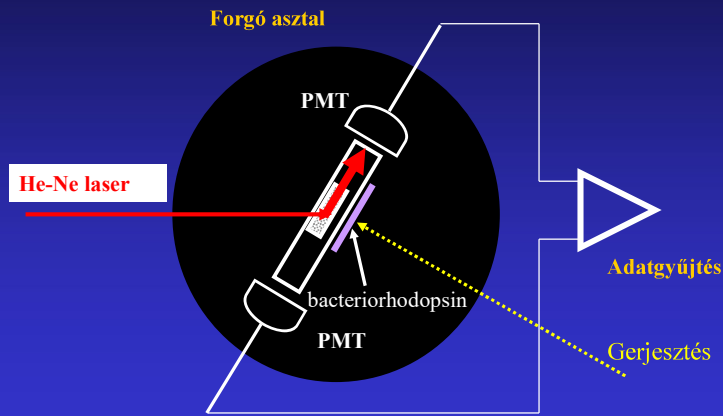
A törésmutató mérése

- üveg hordozó $n_S = 1.526 - 1.532$)
- hullámvezető réteg $(n_F = 1.77 - 2.3, d \sim 200$ nm)
- adalék réteg $(d > 1 \mu\text{m})$
- csatoló rács $(2400 - 2700 \text{ vonal/mm})$

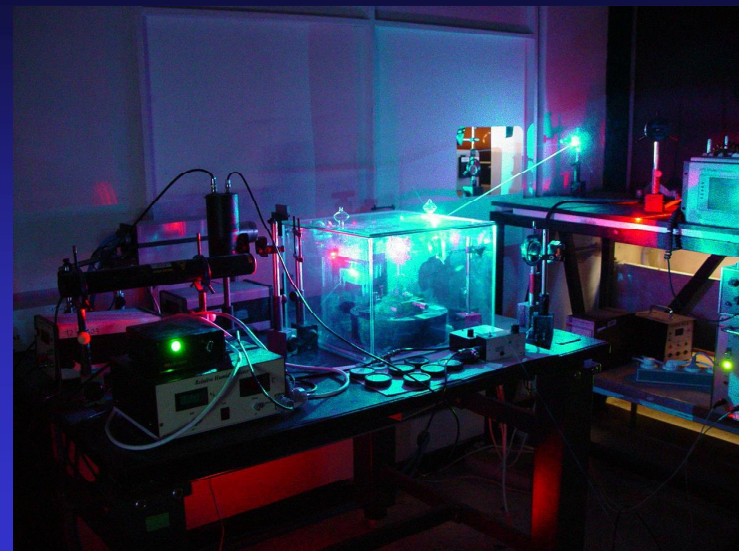
A rács csatolású hullámvezető sémája



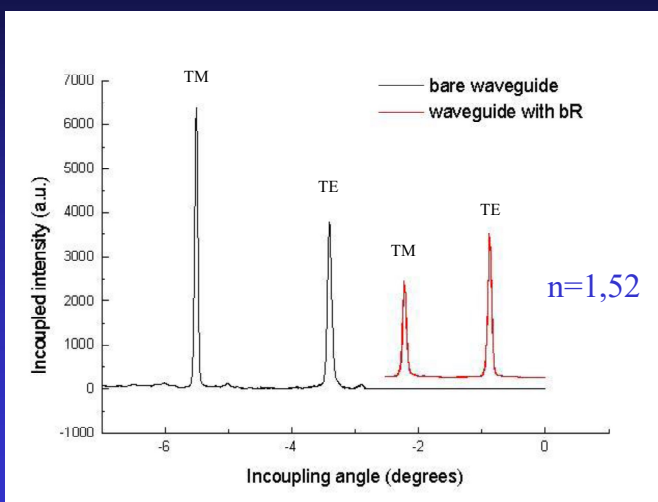
A mérőrendszer



A mérőhely

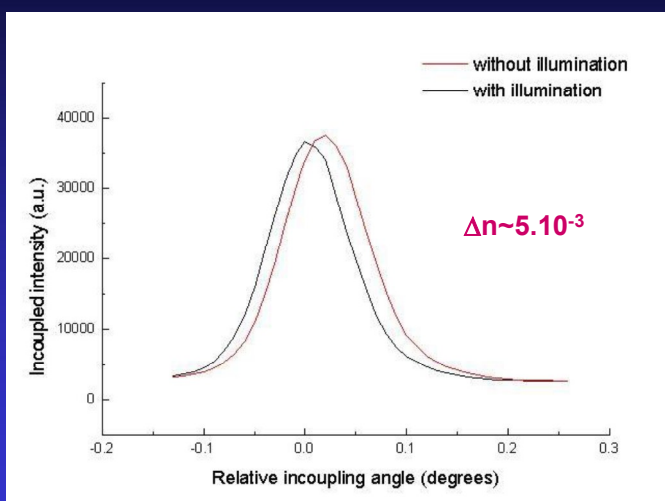


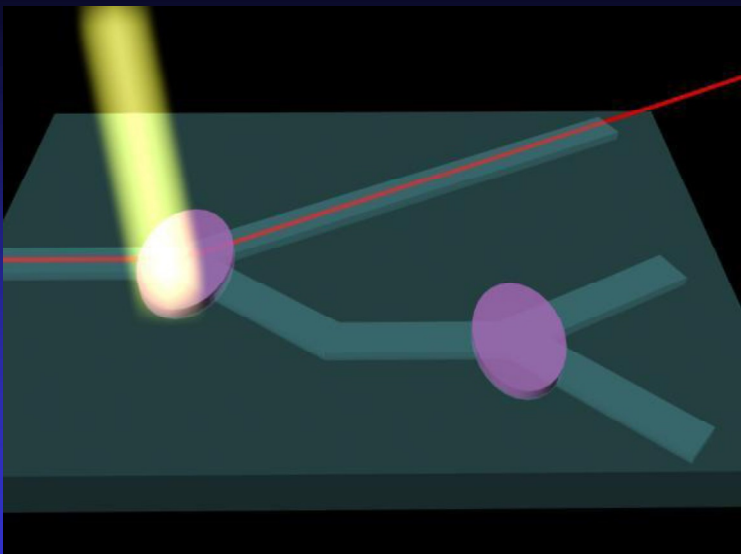
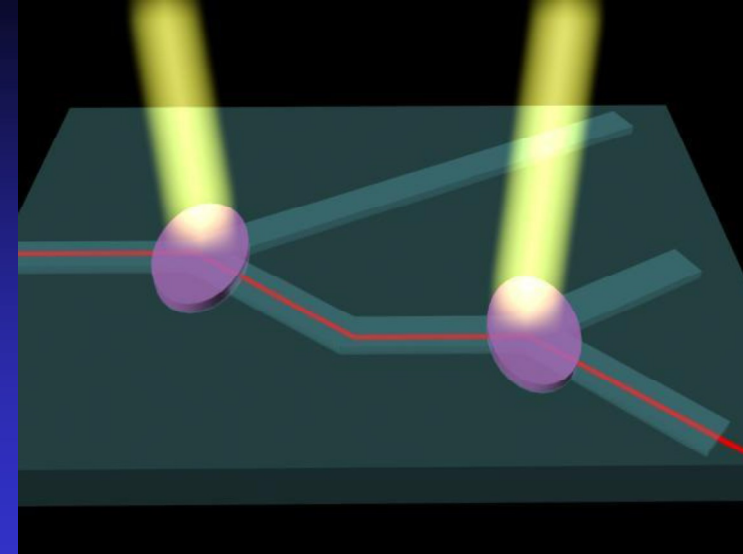
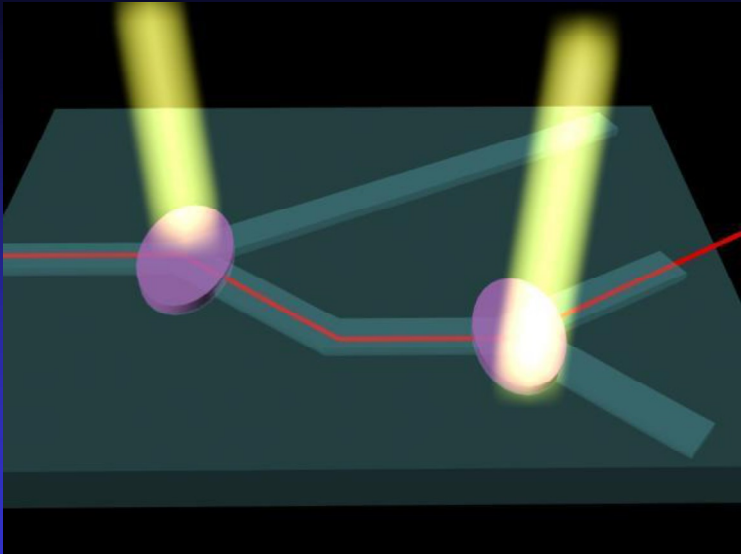
A becsatolt fény intenzitásának szögfüggése



A fényindukált törésmutatóváltozás mérése

A rezonanciaucs szögeltolódása



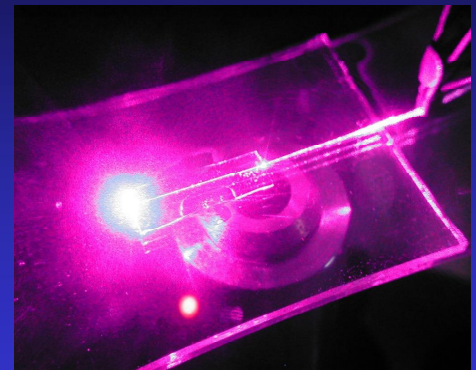


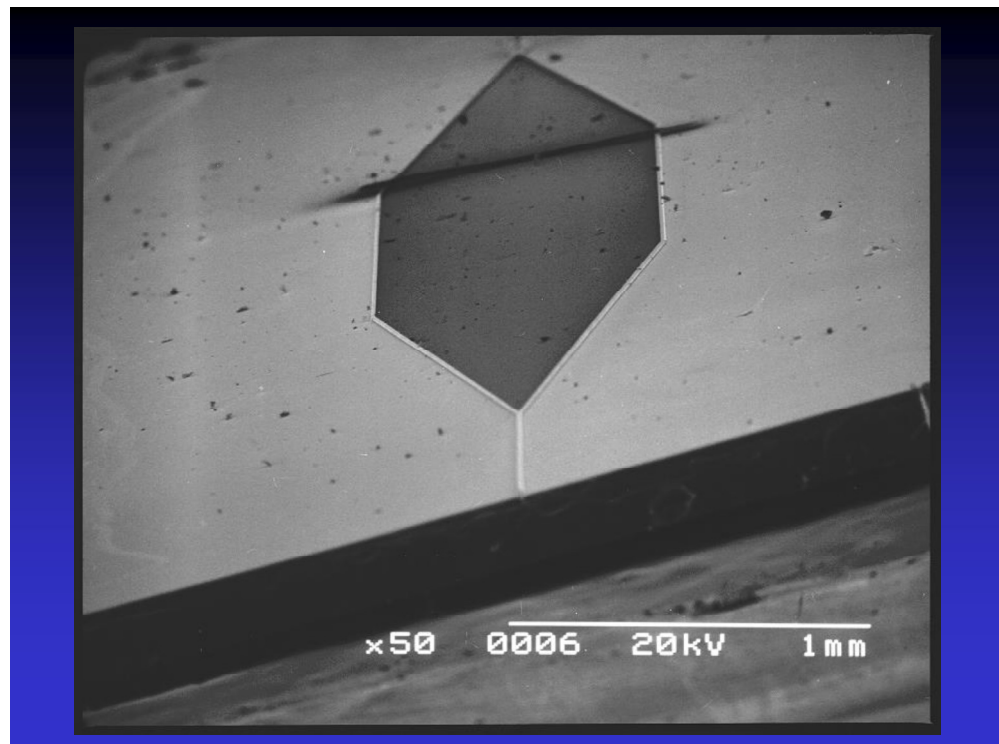
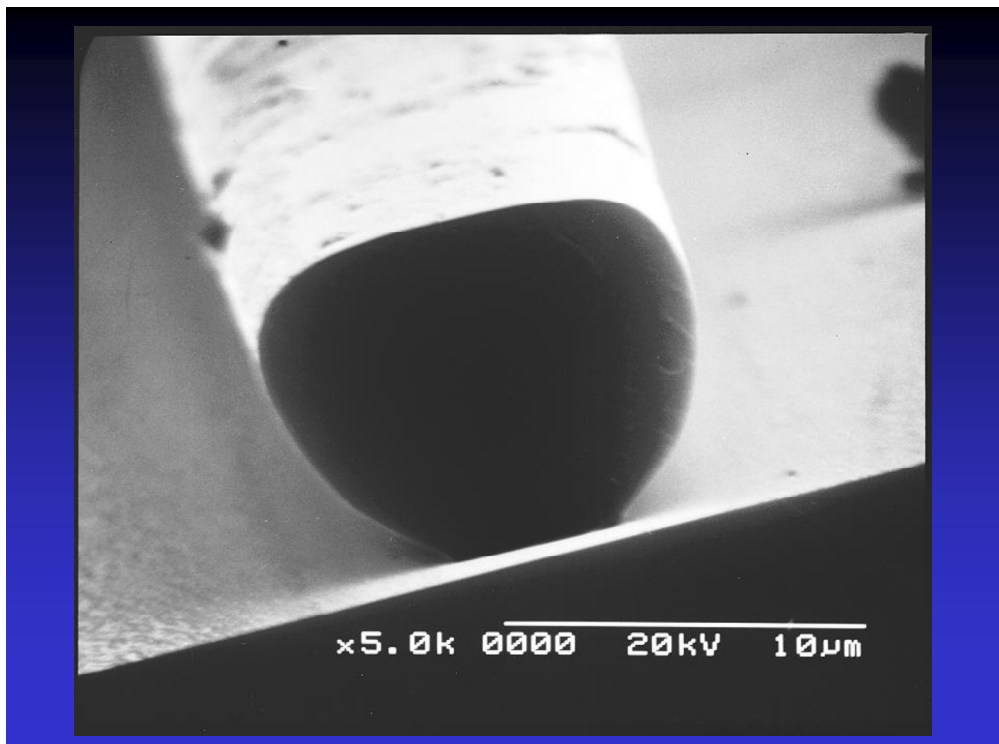
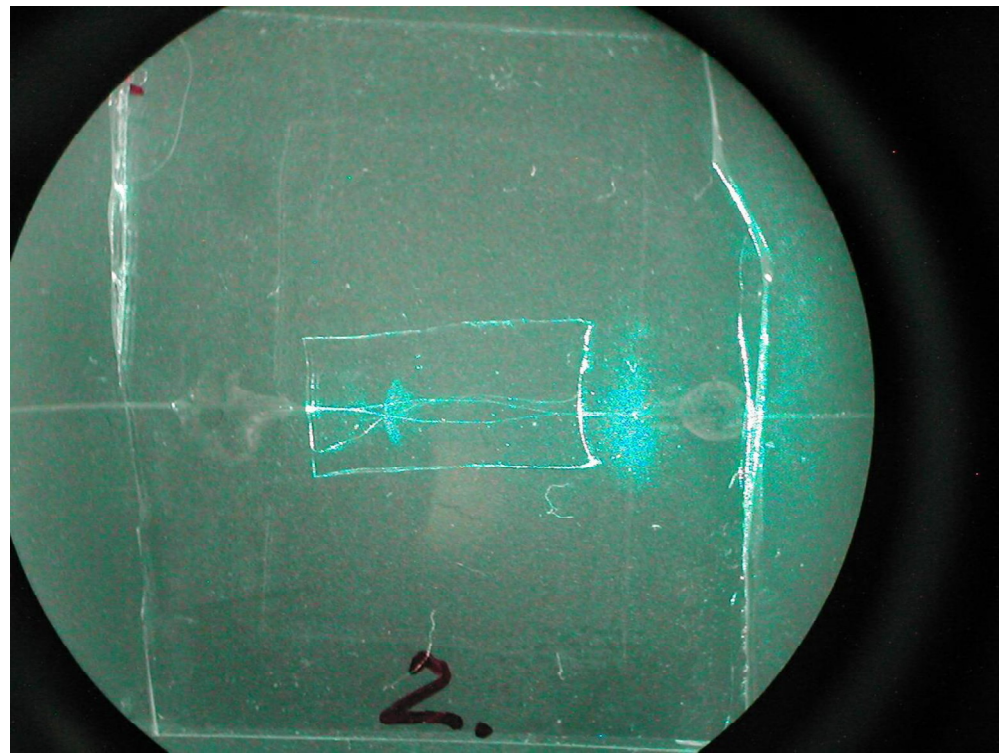
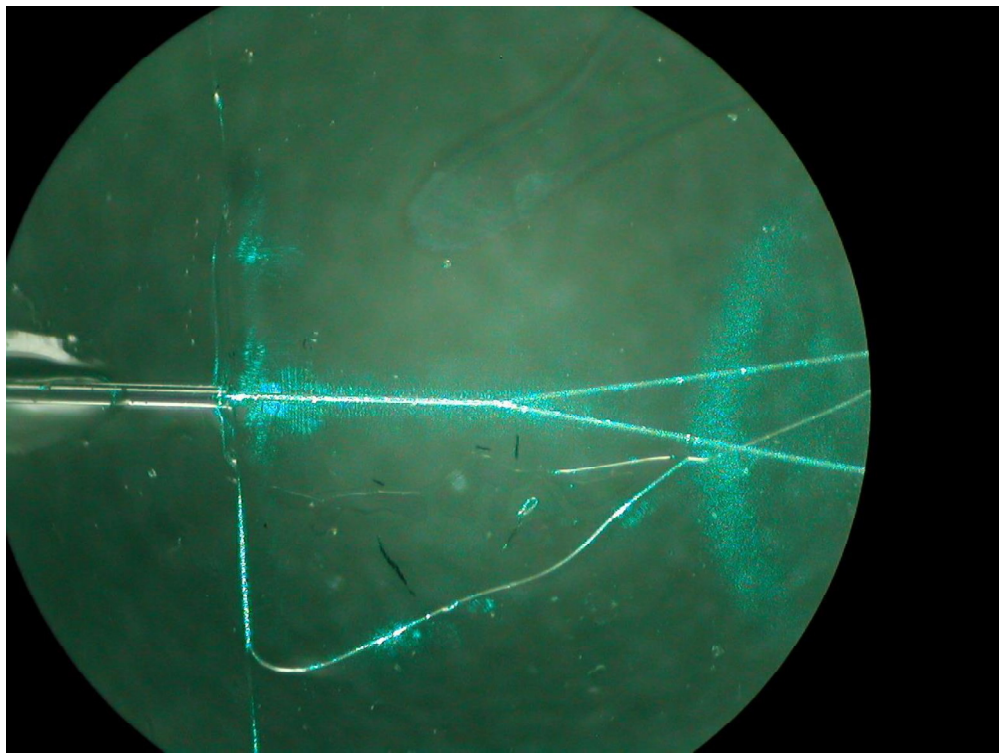
Hullámvezető készítése

fotopolimerizáció

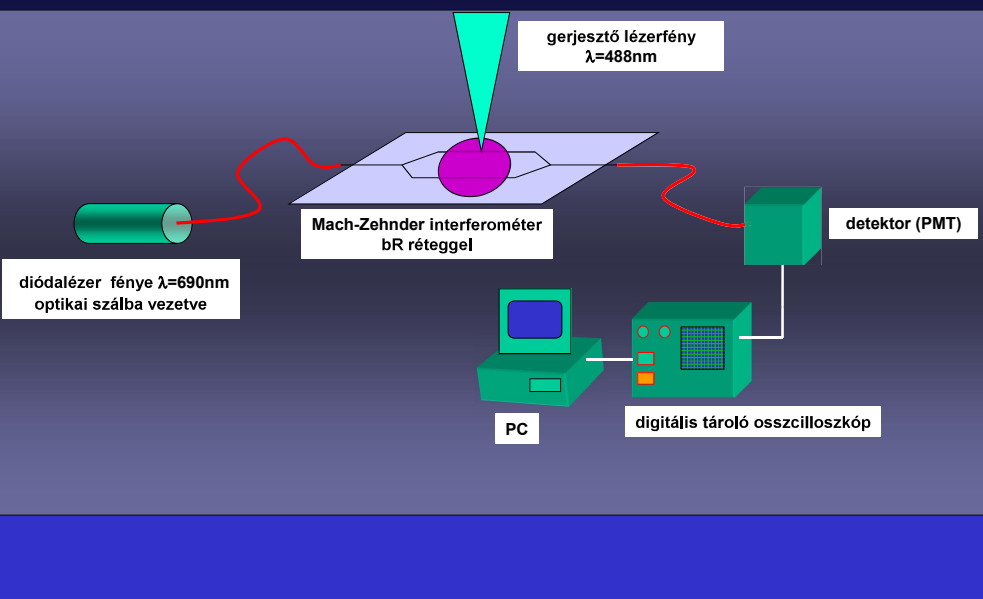


becsatolás

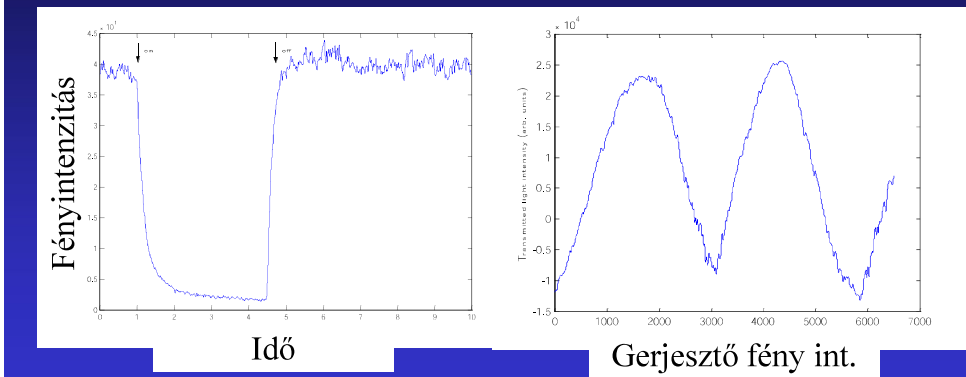




A mérési elrendezés



A kapcsolóeffektus demonstrálása



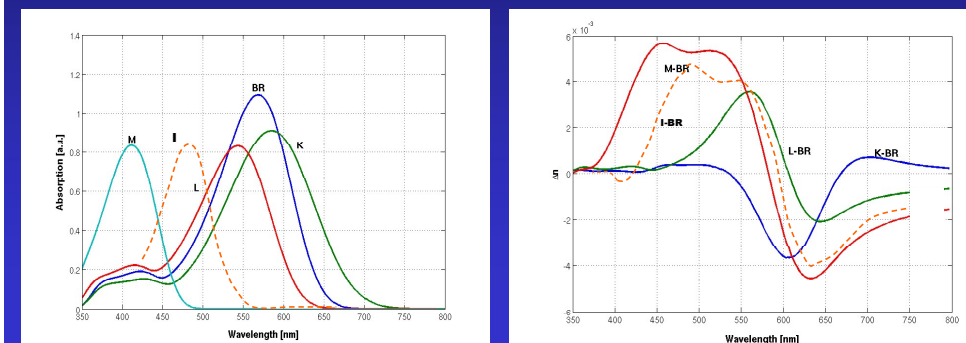
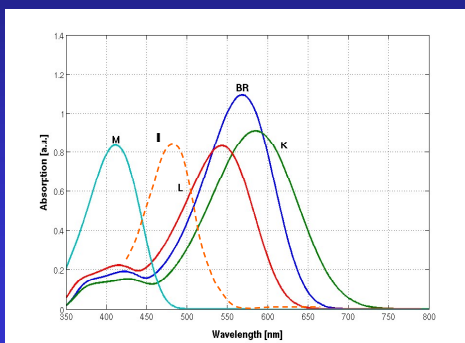
Továbblépési lehetőségek

I. A kapcsolási sebesség növelése (más reakciók felhasználása, génsebészeti módosítások)

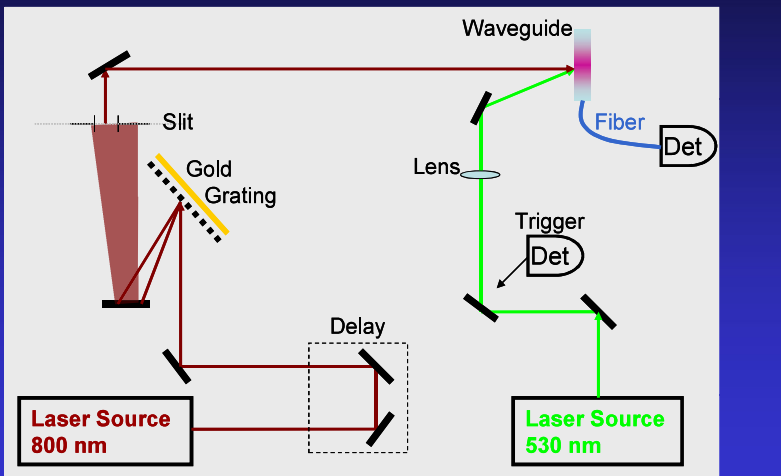
II. Összetett optikai struktúrák létrehozása

III. Más pigmentek kipróbálása

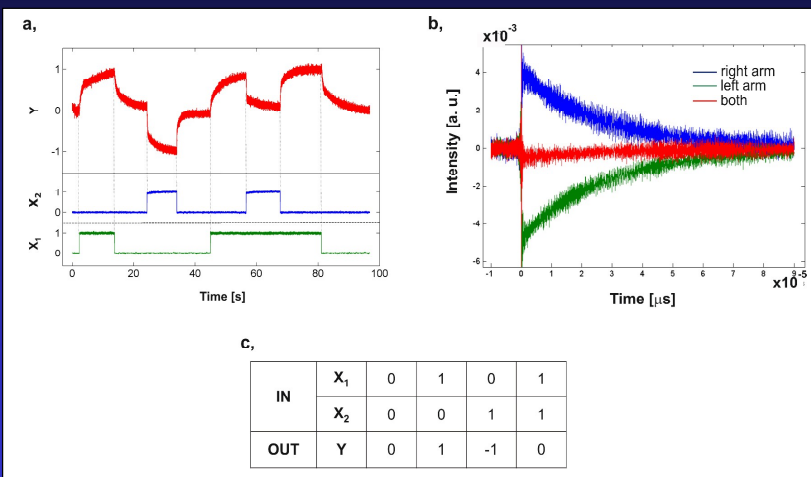
I. A photocycle's primary steps



Pumpa-próba elrendezés

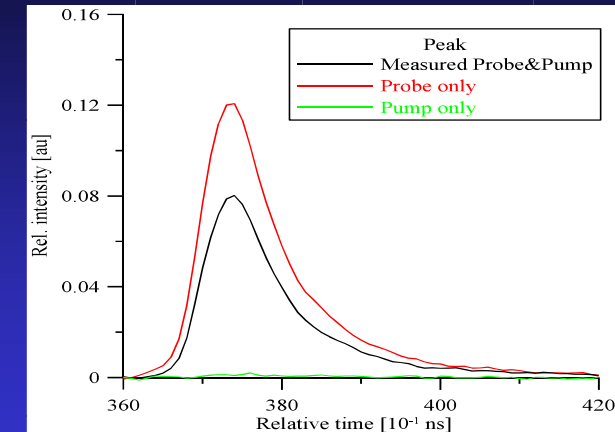


II. Logikai kapuk



$BR_{568} \rightarrow I_{480}$

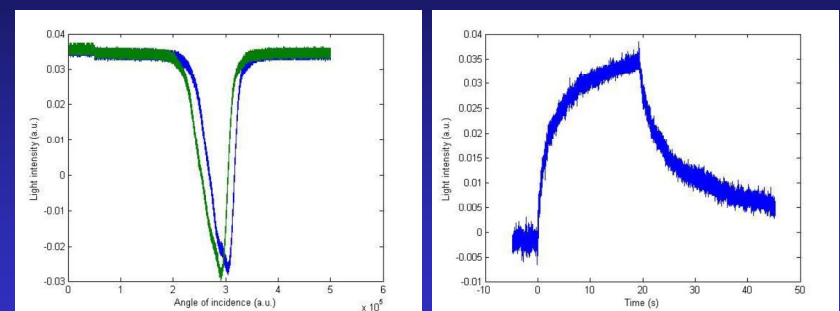
Pumpa: 530 nm 150 fs Próba: 780 nm 3 ps



Két nagyságrenddel gyorsabb, mint a csúcstechnológia!

III. Photoactive yellow protein (PYP)

John Fitch
kooperáció:
Terry Meyer
Jos van Beemmen



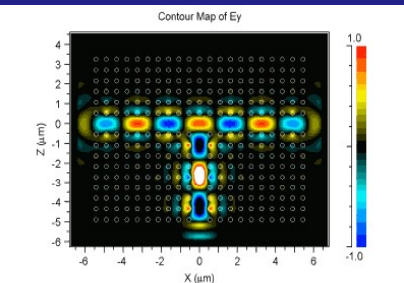
A Biofotonika új ága?

‘Fotobionika’

Mit hoz a jövő?

Különböző megoldások párhuzamosan -
hibrid struktúrák

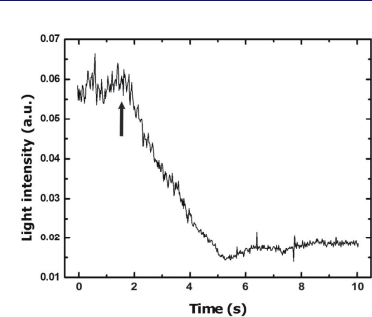
Az integrált optika növekvő szerepe (miniatürizálás,
kombinálás más mikrostruktúrákkal - **mikrofluidika**)



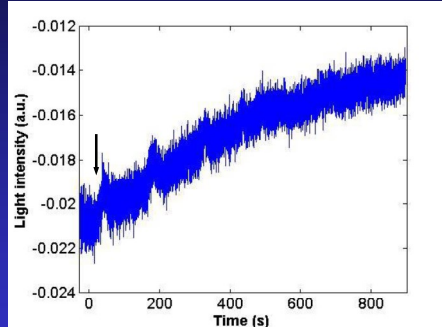
Alkalmazások néhány
éven belül

Gyors, jelölésmentes detektálás

fehérjék

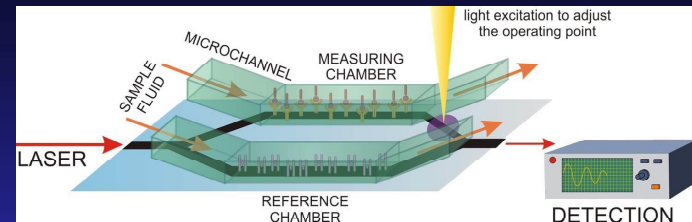


baktériumok



Várható alkalmazások a betegágy melletti („point
of care”) diagnosztikában

Bioszenzor



Köszönetnyilvánítás

Fábián László

Hámori András

Ormos Pál

Nagy Norbert

Oroszi László

Serényi Miklós

Valkai Sándor

Ferencz Kárpát

Jeremy Ramsden

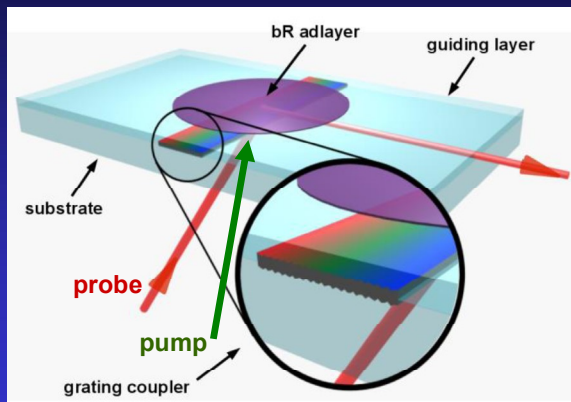
Elmar Wolff

Bionikai Innovációs Központ

Experiment

Device: waveguide + grating + bR

Pump: green pulse to excite for bR_{568}
Probe: NIR pulse (no absorption, etc.)



Substrate: BK7, $n_S=1.52$
Grating: 2400 mm^{-1}
Guiding layer: $d \sim 180 \text{ nm}$, $n_F=1.72$

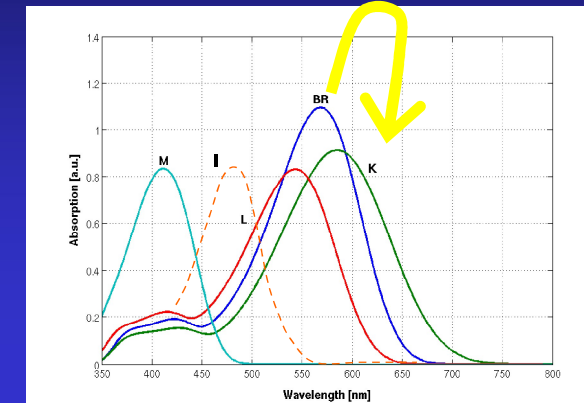
Expected phenomenon:

Induced ref.index change of $bR \rightarrow$ waveguide coupling is changed.

Investigation of $BR_{568} \rightarrow K_{630}$

$BR_{568} - I_{480} - K_{620} - L_{550} - M_{412} - BR_{568}$

100 fs 1 ps 1 μs 100 μs 100 ms

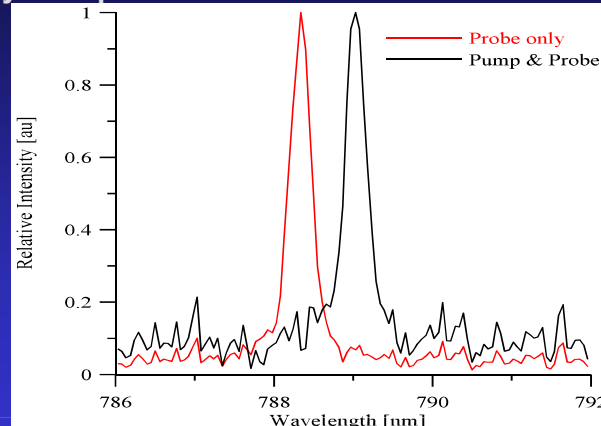


Measurement of $BR_{568} \rightarrow K_{630}$

Pump: 530 nm **45 ps**

Probe: 800 nm, **3.5 ps**, "broad-band": $\Delta\lambda=3\text{nm}$

Delay: 100 ps



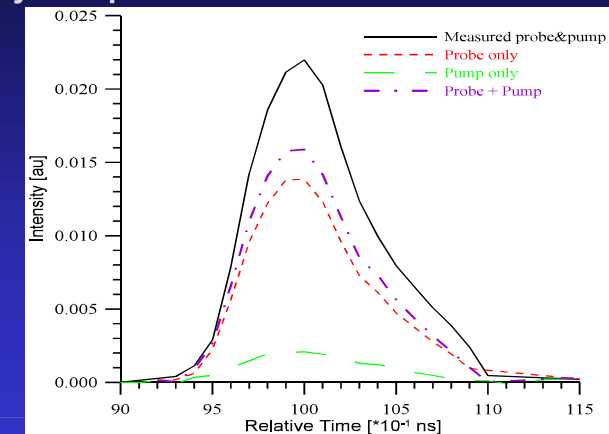
Spectral shift of the peak intensity of the incoupled probe laser pulse.

Investigation of $BR_{568} \rightarrow K_{630}$

Pump: 530 nm **45 ps**

Probe: 800 nm, **3.5 ps** "narrow-band": $\Delta\lambda=0.8\text{nm}$

Delay: 100 ps



Increase of the intensity of the incoupled probe laser pulse.

Could we see $\text{BR}_{568} \rightarrow \text{L}_{480}$??

$\text{BR}_{568} - \text{I}_{480} - \text{K}_{620} - \text{L}_{550} - \text{M}_{412} - \text{BR}_{568}$

100 fs 1 ps 1 μs 100 μs 100 ms

